

# Méthodes Adaptatives pour les Problèmes de Discontinuité

Thomas Jacumin (avec Andreas Langer)

Université de Lund

1er Juillet 2023



LUNDS  
UNIVERSITET

- 1 Introduction
- 2 La Variation Totale
- 3 Application aux Images

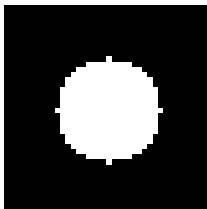
- 1 Introduction
- 2 La Variation Totale
- 3 Application aux Images

Objectif : débruiter et déflouter une image  $f : \Omega \subset \mathbb{R}^2 \rightarrow [0, 1]$  :

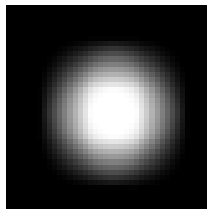
$$f = \mathcal{N}(K\hat{u}),$$

où

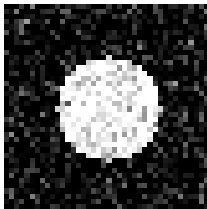
- $\mathcal{N}$  représente le bruit,
- $K$  est un opérateur linéaire borné (flou),
- $\hat{u} : \Omega \subset \mathbb{R}^2 \rightarrow [0, 1]$  est l'image originale (inconnue).



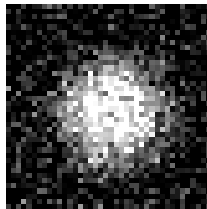
(a) Originale.



(b) Floutée.



(c) Bruitée.



(d) Floutée et bruitée.

Méthode générale :

Problem

$$\min_u \mathcal{D}(Ku, f) + \mathcal{R}_\alpha(u),$$

avec

- $\mathcal{D}$  le terme de fidélité des données,
- $\mathcal{R}$  le terme de régularisation,
- $\alpha$  le paramètre de régularisation.

Méthode générale :

### Problem

$$\min_u \mathcal{D}(Ku, f) + \mathcal{R}_\alpha(u),$$

avec

- $\mathcal{D}$  le terme de fidélité des données,
- $\mathcal{R}$  le terme de régularisation,
- $\alpha$  le paramètre de régularisation.

On s'intéresse uniquement au bruit gaussien et  $K = Id$ .

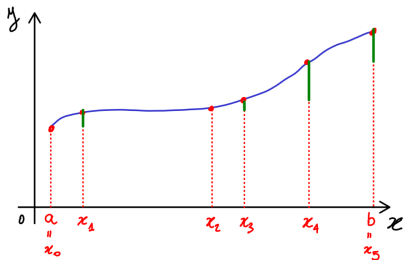
- 1 Introduction
- 2 La Variation Totale
- 3 Application aux Images



## Definition

Soit  $a < b$  dans  $\bar{\mathbb{R}}$ . On pose  $I := (a, b)$ . Pour toutes fonctions  $u : \mathbb{R} \rightarrow \mathbb{R}$ , on définit la variation totale de  $u$  sur  $I$  par

$$\text{TV}^*(u, I) := \sup \left\{ \sum_{i=1}^{N-1} |u(x_{i+1}) - u(x_i)| \mid a < x_1 < \dots < x_N < b \right\}.$$



## Definition

On définit la variation totale de  $u \in L^1_{\text{loc}}(\Omega)$  par,

$$\text{TV}(u, \Omega) := \sup_{\varphi \in C_c^1(\Omega), \|\varphi\|_\infty \leq 1} \int_{\Omega} u \operatorname{div}(\varphi) \, dx.$$

## Definition

On définit la variation totale de  $u \in L^1_{\text{loc}}(\Omega)$  par,

$$\text{TV}(u, \Omega) := \sup_{\varphi \in C_c^1(\Omega), \|\varphi\|_\infty \leq 1} \int_{\Omega} u \operatorname{div}(\varphi) \, dx.$$

## Proposition

Si  $u$  est dans  $W^{1,1}(\Omega) \subset BV(\Omega)$ , alors,

$$\text{TV}(u, \Omega) = \int_{\Omega} |\nabla u| \, dx.$$

## Definition

On définit la variation totale de  $u \in L^1_{\text{loc}}(\Omega)$  par,

$$\text{TV}(u, \Omega) := \sup_{\varphi \in C_c^1(\Omega), \|\varphi\|_\infty \leq 1} \int_{\Omega} u \operatorname{div}(\varphi) \, dx.$$

## Proposition

Si  $u$  est dans  $W^{1,1}(\Omega) \subset BV(\Omega)$ , alors,

$$\text{TV}(u, \Omega) = \int_{\Omega} |\nabla u| \, dx.$$

Remarque : en 1D  $\text{TV}^*$  et  $\text{TV}$  coïncide presque partout.

## Definition

Espace des fonctions à variations bornées :

$$BV(\Omega) = \{u \in L^1(\Omega) \mid \text{TV}(u, \Omega) < +\infty\}.$$

$$\|u\|_{BV(\Omega)} := \|u\|_{L^1(\Omega)} + \text{TV}(u, \Omega).$$

- 1 Introduction
- 2 La Variation Totale
- 3 Application aux Images**

# Paramètre Constant

On considère :

Problem

$$\min_{u \in BV(\Omega)} \underbrace{\|u - f\|_{L^2(\Omega)}^2}_{\mathcal{D}} + \alpha \underbrace{\int_{\Omega} |Du|}_{\mathcal{R}_{\alpha}}.$$



On considère :

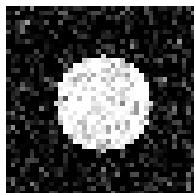
### Problem

$$\min_{u \in BV(\Omega)} \underbrace{\|u - f\|_{L^2(\Omega)}^2}_{\mathcal{D}} + \alpha \underbrace{\int_{\Omega} |Du|}_{\mathcal{R}_{\alpha}}.$$

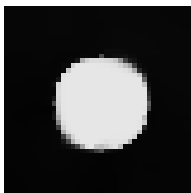
### Theorem

*Il existe une solution unique au problème précédent.*

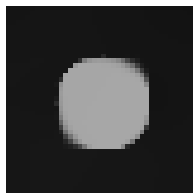
Antonin Chambolle et Pierre-Louis Lions. "Image recovery via total variation minimization and related problems". In : *Numerische Mathematik* 76.2 (avr. 1997), p. 167-188



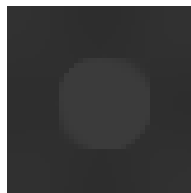
(e) Bruitée.



(f)  $\alpha = 0.02$ .



(g)  $\alpha = 0.05$ .



(h)  $\alpha = 0.1$ .

Figure – Résultats numériques avec l'algorithme de Chambolle-Pock.

Antonin Chambolle et Thomas Pock. "A First-Order Primal-Dual Algorithm for Convex Problems with Applications to Imaging". en. In : *Journal of Mathematical Imaging and Vision* 40.1 (mai 2011), p. 120-145

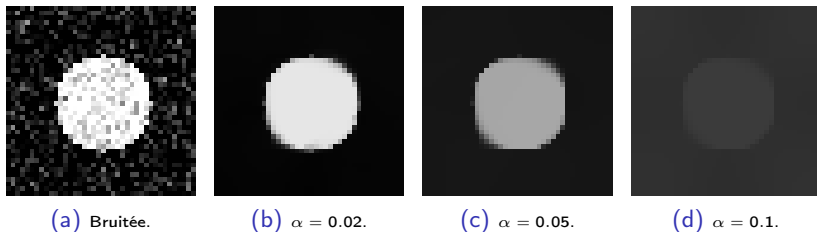


Figure – Résultats numériques avec l'algorithme de Chambolle-Pock.

Problèmes :

- on floute les arêtes,
- perte d'énergie dans la zone blanche.

Antonin Chambolle et Thomas Pock. "A First-Order Primal-Dual Algorithm for Convex Problems with Applications to Imaging". en. In : *Journal of Mathematical Imaging and Vision* 40.1 (mai 2011), p. 120-145

# Paramètre Variable

On considère :

Problem

$$\min_{u \in BV(\Omega)} \underbrace{\|u - f\|_{L^2(\Omega)}^2}_{\mathcal{D}} + \underbrace{\int_{\Omega} \alpha(x) |Du|}_{\mathcal{R}_{\alpha}}.$$

On considère :

### Problem

$$\min_{u \in BV(\Omega)} \underbrace{\|u - f\|_{L^2(\Omega)}^2}_{\mathcal{D}} + \underbrace{\int_{\Omega} \alpha(x) |Du|}_{\mathcal{R}_{\alpha}}.$$

Idée : choisir  $\alpha$  faible proche des arêtes et grand dans les zones homogènes.

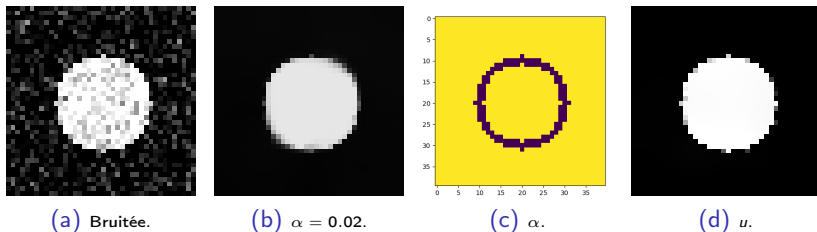


Figure – Résultats numériques avec l'algorithme de Chambolle-Pock.

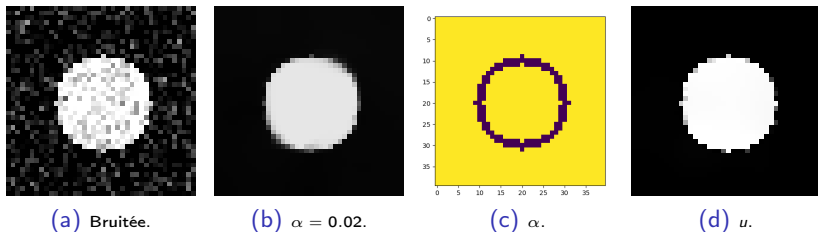


Figure – Résultats numériques avec l’algorithme de Chambolle-Pock.

Problème : on a du bruit sur les arêtes.



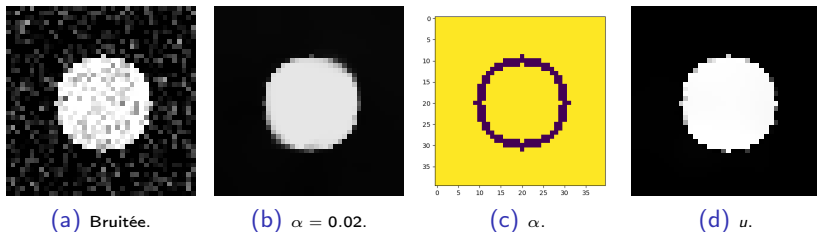
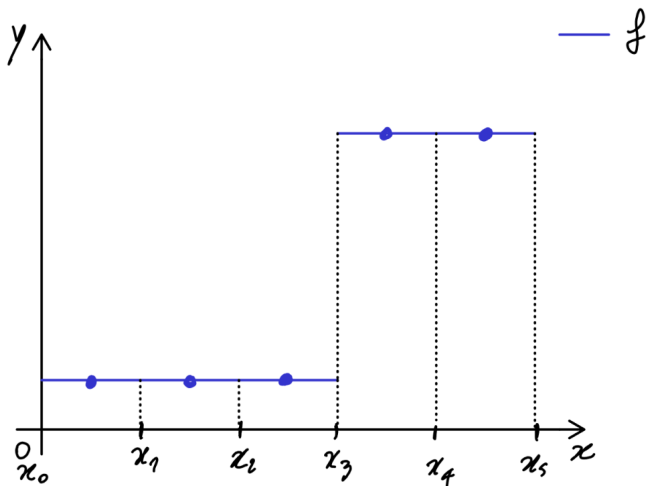
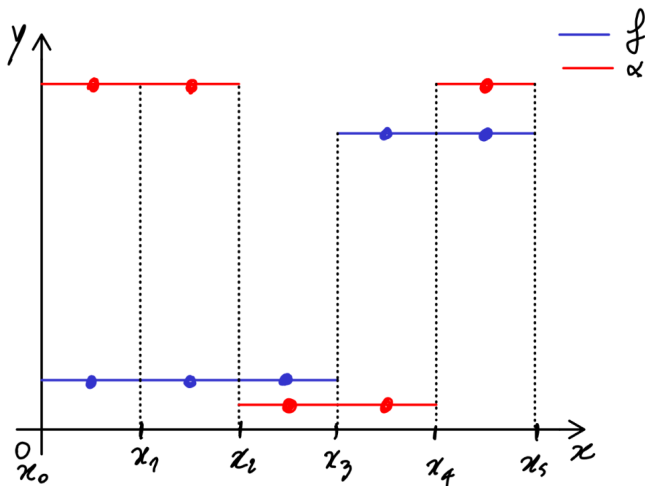


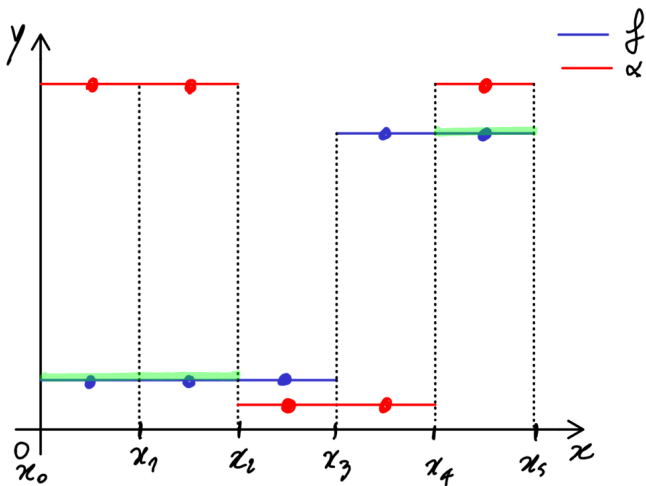
Figure – Résultats numériques avec l’algorithme de Chambolle-Pock.

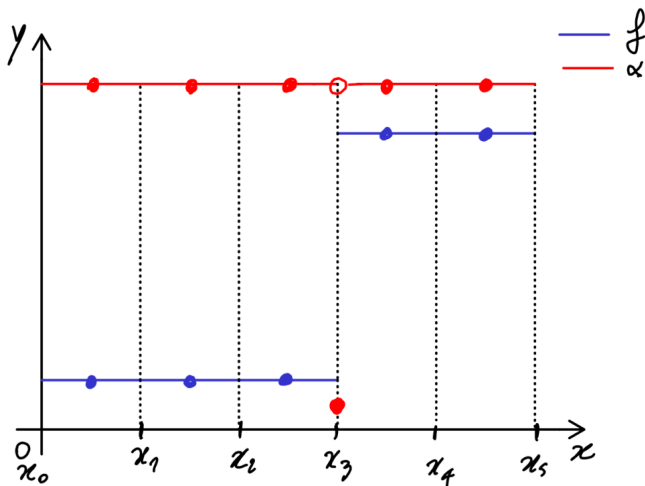
Problème : on a du bruit sur les arêtes. Il faudrait un  $\alpha$  plus “fin”.

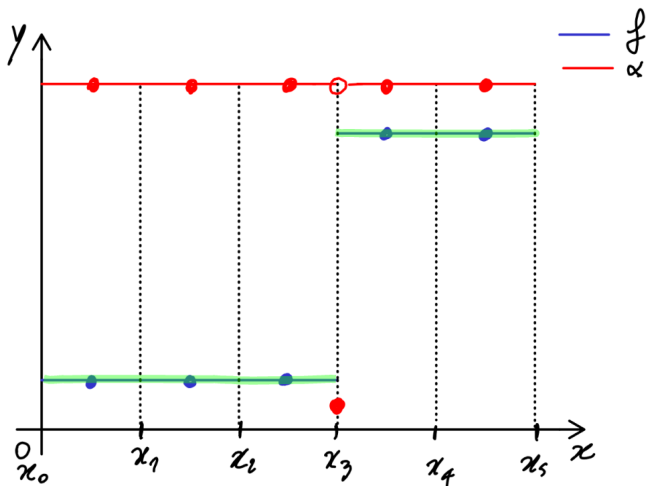
# Grille Adaptative











Règles de construction du maillage (en 2D) :

- On commence avec 1 élément (degrés de liberté) par pixel.

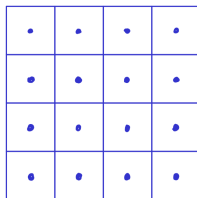


Règles de construction du maillage (en 2D) :

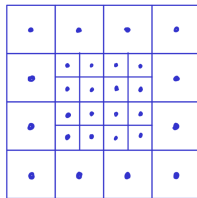
- On commence avec 1 élément (degrés de liberté) par pixel.
- On divise un élément en 4 sous-éléments.

Règles de construction du maillage (en 2D) :

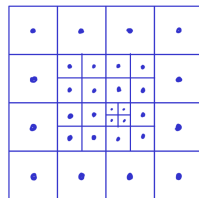
- On commence avec 1 élément (degrés de liberté) par pixel.
- On divise un élément en 4 sous-éléments.
- À la fin, chaque élément doit être :
  - de même taille,
  - deux fois plus petit,
  - deux fois plus grand,que ses voisins (éléments adjacents).



(a) Régulier.



(b) Raffiné une fois.



(c) Raffiné deux fois.

Figure – Discrétisations possibles.

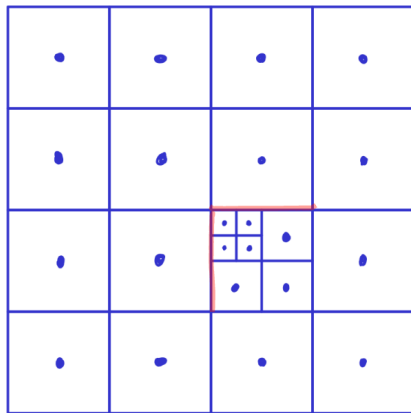


Figure – Discrétisation interdite.

# Différences Finies

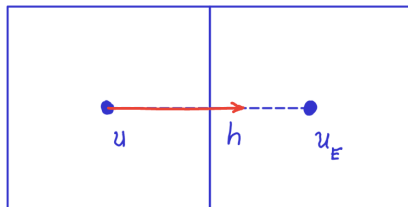


Figure – Cas régulier.

$$\partial_x u = \nabla u \cdot \begin{pmatrix} 1 \\ 0 \end{pmatrix} \approx \frac{u_E - u}{h}.$$

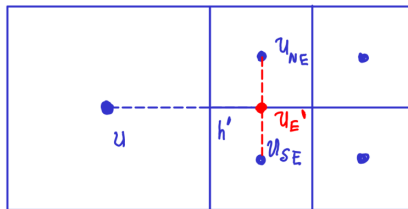


Figure – Cas non-régulier.

$$\partial_x u \approx \frac{\frac{u_{NE} + u_{SE}}{2} - u}{h'}$$

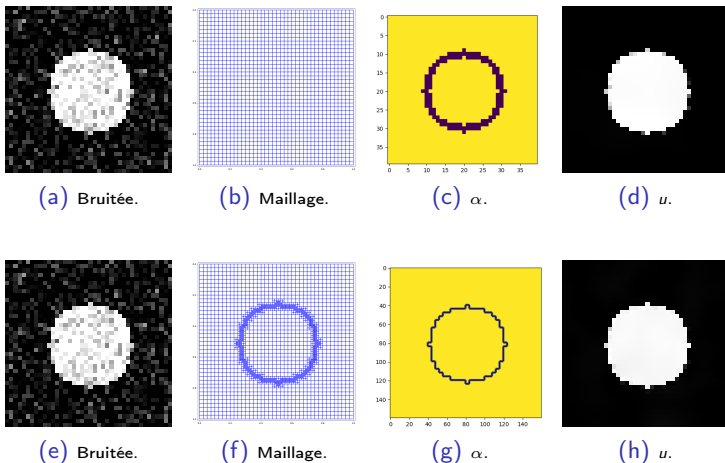


Figure – Résultats numériques avec l'algorithme de Chambolle-Pock.



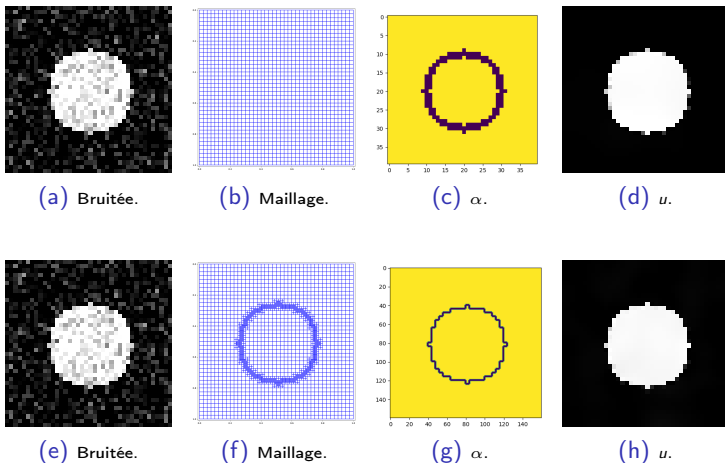


Figure – Résultats numériques avec l'algorithme de Chambolle-Pock.

On a besoin de connaître l'emplacement des discontinuités !

## Méthode de Hintermüller et Kunisch :

- Utilise uniquement la variable dual,

K. Kunisch et M. Hintermüller. "Total Bounded Variation Regularization as a Bilaterally Constrained Optimization Problem". en. In : *SIAM Journal on Applied Mathematics* 64.4 (jan. 2004), p. 1311-1333

## Méthode de Hintermüller et Kunisch :

- Utilise uniquement la variable dual,
- Méthode de Newton (itérative),
- Utilise des ensembles actifs (ensemble de contraintes) : permet de détecter les arêtes,

K. Kunisch et M. Hintermüller. "Total Bounded Variation Regularization as a Bilaterally Constrained Optimization Problem". en. In : *SIAM Journal on Applied Mathematics* 64.4 (jan. 2004), p. 1311-1333

## Méthode de Hintermüller et Kunisch :

- Utilise uniquement la variable dual,
- Méthode de Newton (itérative),
- Utilise des ensembles actifs (ensemble de contraintes) : permet de détecter les arêtes,
- Convergence plus rapide que linéaire.

K. Kunisch et M. Hintermüller. "Total Bounded Variation Regularization as a Bilaterally Constrained Optimization Problem". en. In : *SIAM Journal on Applied Mathematics* 64.4 (jan. 2004), p. 1311-1333

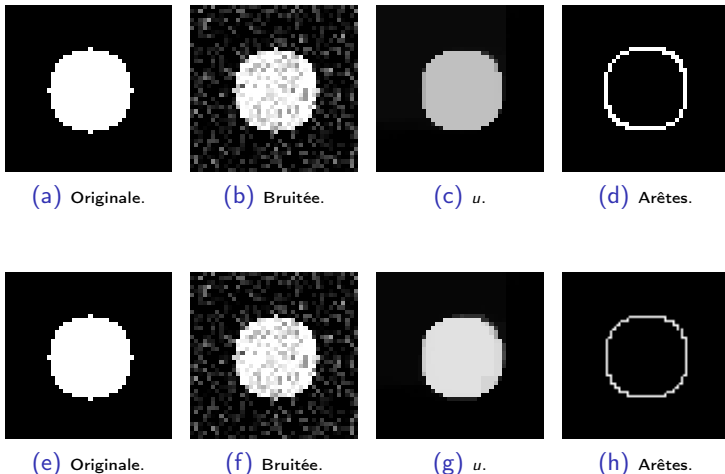


Figure – Résultats numériques avec l'algorithme de Hintermüller-Kunisch.

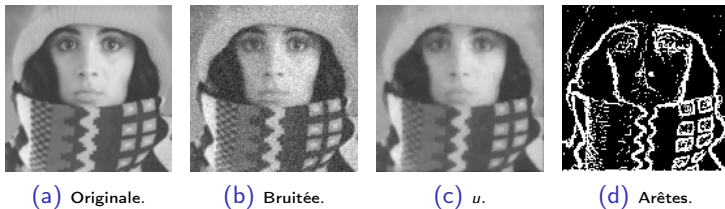


Figure – Résultats numériques avec l'algorithme de Hintermüller-Kunisch.

Conclusion : on a :

- proposé des différences finies sur un maillage non régulier,
- amélioré la reconstruction avec un maillage et un paramètre qui dépend des arêtes (construction à la main).

Conclusion : on a :

- proposé des différences finies sur un maillage non régulier,
- amélioré la reconstruction avec un maillage et un paramètre qui dépend des arêtes (construction à la main).

Futur :

- faire la méthode d'Hintermüller-Kunisch sur un maillage non régulier,
- faire un maillage et un paramètre automatique.



# Merci de votre attention !

Antonin Chambolle et Pierre-Louis Lions. "Image recovery via total variation minimization and related problems". In : *Numerische Mathematik* 76.2 (avr. 1997), p. 167-188

Antonin Chambolle et Thomas Pock. "A First-Order Primal-Dual Algorithm for Convex Problems with Applications to Imaging". en. In : *Journal of Mathematical Imaging and Vision* 40.1 (mai 2011), p. 120-145

K. Kunisch et M. Hintermüller. "Total Bounded Variation Regularization as a Bilaterally Constrained Optimization Problem". en. In : *SIAM Journal on Applied Mathematics* 64.4 (jan. 2004), p. 1311-1333